

XXXIII Seminário de Iniciação Científica
XXX Jornada de Pesquisa
XXVI Jornada de Extensão
XV Seminário de Inovação e Tecnologia
XI Mostra de Iniciação Científica Júnior
III Seminário Acadêmico da Graduação UNIJUÍ



Evento: XV Seminário de Inovação e Tecnologia •

DESENVOLVIMENTO E VALIDAÇÃO DA TECNOLOGIA DE BIOFORTIFICAÇÃO AGRONÔMICA VIA FOLIAR DE ZINCO EM AVEIA CONSIDERANDO DIFERENTES ANOS AGRÍCOLAS¹

Bethina Ceccato dos Santos², Rubens Ricardo Pott Megier³, Fernando Krause Schmidt⁴, Júlia Sarturi Jung⁵, Igor Miguel Zardin⁶, Cristhian Milbradt Babeskiⁿ, Henrique Petrolli³, José Antonio Gonzalez da Silva ⁰

- ¹ Projeto de pesquisa desenvolvido na UNIJUÍ
- ² Estudante do curso de Agronomia da UNIJUÍ. Bolsista PIBIT/CNPq
- ³ Estudante do curso de Agronomia da UNIJUÍ. Bolsista PIBIC/FAPERGS
- ⁴ Estudante do curso de Agronomia da UNIJUÍ. Bolsista PIBIC/CNPq
- ⁵ Estudante do curso de Agronomia da UNIJUÍ. Bolsista PIBIT/CNPq
- ⁶ Estudante do curso de Agronomia da UNIJUÍ. Bolsista PIBIC/CNPq
- ⁷ Estudante do curso de Doutorado da UFSM. Pesquisador Colaborador
- ⁸ Estudante do Ensino Médio vinculado a UNIJUÍ. Bolsista EM/CNPg
- ⁹ Professor Orientador, curso de Agronomia, PPGSAS, PPGMMC, UNIJUÍ.

INTRODUÇÃO

A fome e a insegurança alimentar afetam bilhões de pessoas no mundo, especialmente em países da África e América Latina. Assim, uma alimentação balanceada e que forneça os nutrientes necessários, é essencial para atender às necessidades humanas. O zinco é elemento vital para as atividades enzimáticas e síntese de proteínas, possui propriedades antioxidantes e essencial para enzimas do sistema nervoso (ZHANG et al., 2022). Nos países em desenvolvimento, a deficiência de zinco na população tem se tornado uma preocupação devido à dificuldade de acesso a alimentos ricos nesses nutrientes, como carne vermelha e peixes (DUAN et al., 2023). Uma das medidas para reduzir a carência de zinco é a biofortificação agronômica, uma tecnologia de manejo agrícola que pode aumentar o conteúdo de minerais e vitaminas em espécies agrícolas. Essa abordagem pode oferecer uma maneira eficiente e de baixo custo para acesso a alimentos mais nutritivos e saudáveis (GUPTA et al., 2016; ZHOU et al., 2019). A aveia branca (Avena sativa L.), por sua reconhecida qualidade nutracêutica e desempenho agronômico com adaptação a diferentes ambientes, representa uma cultura promissora para desenvolvimento e aplicação desta tecnologia, especialmente no contexto agrícola brasileiro. O objetivo desta pesquisa é



XXXIII Seminário de Iniciação Científica
XXX Jornada de Pesquisa
XXVI Jornada de Extensão
XV Seminário de Inovação e Tecnologia
XI Mostra de Iniciação Científica Júnior
III Seminário Acadêmico da Graduação UNIJUÍ



desenvolver e validar a tecnologia de biofortificação agronômica de zinco via pulverização foliar considerando uma análise em diferentes anos de cultivo.

METODOLOGIA

O estudo foi conduzido nos anos de 2021 a 2024, no município de Augusto Pestana, RS, Brasil. A semeadura foi realizada na primeira quinzena de junho com semeadora-adubadora, em unidades experimentais de 5 m² e com uso de 400 sementes viáveis m⁻². O delineamento utilizado foi de blocos ao acaso com quatro repetições em cinco níveis do composto ZnSO45H2O (0, 500, 1000, 2000 e 4000 g ha⁻¹), aplicado na fase de início do enchimento de grãos da aveia. Foi utilizado pulverizador costal de 20 litros à pressão constante de 30 lb pol⁻², com pontas de jato tipo cone. O volume dimensionado de água foi considerando a aplicação de 500 litros ha⁻¹. Foi condicionado o tempo de 21 segundos neste volume e pressão de trabalho.

Na colheita de grãos foi realizado o corte de três linhas centrais de cada unidade experimental, após foram trilhadas e direcionadas para correção da umidade de grãos para 13%, para estimativa da produtividade de grãos (PG, kg ha-1), pesadas em balança de precisão. As concentrações de ferro no grão (FeG, mg kg-1), ferro na cariopse, (FeC, mg kg-1), Zinco no grão (ZnG, mg kg-1), Zinco na cariopse, (ZnC, mg kg-1) foram obtidas a partir de amostras 20 gramas de grãos com casca e sem casca (cariopse), pesados em balança de precisão. Após as amostras serem direcionadas ao forno, com temperatura entre 70 e 80 °C, para secagem e correção da variação de peso, elas foram moídas no moinho por cerca de 90 segundos. Após a moagem, as amostras foram peneiradas, com a peneira de malha 270, com tamanho de 53 mícron, resultando numa massa de 5 a 6 gramas. As amostras foram devidamente identificadas e enviadas para análise da concentração de zinco e ferro em grãos e cariopses de aveia. Os procedimentos e materiais utilizados foram baseados em Tedesco et al. (1995). Foi realizada análise de variância, de médias e regressões para estimativa do comportamento das doses de biofortificação, realizadas com o auxílio do software GENES (CRUZ, 2013).

RESULTADOS E DISCUSSÃO

SALÃO DO UNIJUÍ 2025 CONHECIMENTO Água, ciência e sustentabilidade: desafios para o futuro

De 20 a 24 de outubro de 2025

XXXIII Seminário de Iniciação Científica XXX Jornada de Pesquisa XXVI Jornada de Extensão XV Seminário de Inovação e Tecnologia XI Mostra de Iniciação Científica Júnior III Seminário Acadêmico da Graduação UNIJUÍ



Os resultados da análise de variância indicaram efeito significativo dos efeitos de ano, doses de sulfato de zinco via foliar e desta interação sobre o conteúdo de zinco e ferro em grãos e cariopses de aveia. Também foi observado, que os efeitos das doses de biofortificação pelo sulfato de zinco não modificaram os indicadores agronômicos. Estes resultados são importantes a ponto de garantir a aplicação da tecnologia para enriquecimento de grãos de aveia.

Na Tabela 1 de comparação de médias, em todos os anos analisados, se evidencia o aumento da concentração zinco nos grãos e cariopses de aveia com a biofortificação foliar por sulfato de zinco.

Tabela 1. Média da concentração de zinco e ferro em grãos e cariopses de aveia biofortificados com diferentes doses de sulfato de zinco em anos agrícolas.

Dose	Biofortificação sulfato de zinco - (mg kg ⁻¹)								
(g ha ⁻¹)	ZnG	ZnC	FeG	FeC		ZnG	ZnC	FeG	FeC
	2021					2022			
0	37,3 c	48,3 b	239,7 a	104,8 a		29,1 c	31,9 c	601,9 a	420,8 a
1000	43,2 b	49,9 b	232,1 b	103,1 a		34,3 b	37,3 b	589,6 b	186,0 b
2000	43,2 b	50,0 b	199,3 с	92,5 b		40,3 a	41,4 a	579,2 b	144,5 c
4000	51,3 a	54,2 a	100,7 d	69,2 c		43,9 a	45,9 a	323,3 с	141,2 c
	2023					2024			
0	36,5 b	57,5 c	482,8 a	184,8 a		41,0 b	28,8 c	70,5 a	69,3 a
1000	61,0 a	65,4 b	488,0 a	140,8 c		40,7 b	30,6 c	61,2 b	39,3 с
2000	63,4 a	64,4 b	434,6 b	170,4 b		42,1 b	49,2 a	35,6 c	44,1 b
4000	66,9 a	72,6 a	224,7 c	126,8 d		47,6 a	40,1 b	71,2 a	40,3 c

ZnG- Concentração de zinco no grão; ZnC- Concentração de zinco na cariopse; FeG- Concentração de ferro no grão; FeC- Concentração de ferro na cariopse. As médias seguidas de mesma letra na coluna não diferem estatisticamente entre si em nível de 5% de probabilidade de erro pelo teste de Scott knott.

Os resultados da Tabela 1 e Figura 1 mostram uma dependência das condições de ano agrícola e do momento da aplicação sobre a eficiência da biofortificação via foliar. Neste contexto, se verifica por exemplo para em 2023, um aumento de mais de 67% de biofortificação nos grãos e 26% nas cariopses de aveia, em comparação a ano 2024 com menor efeito da tecnologia, possivelmente ligada as condições meteorológicas no período de

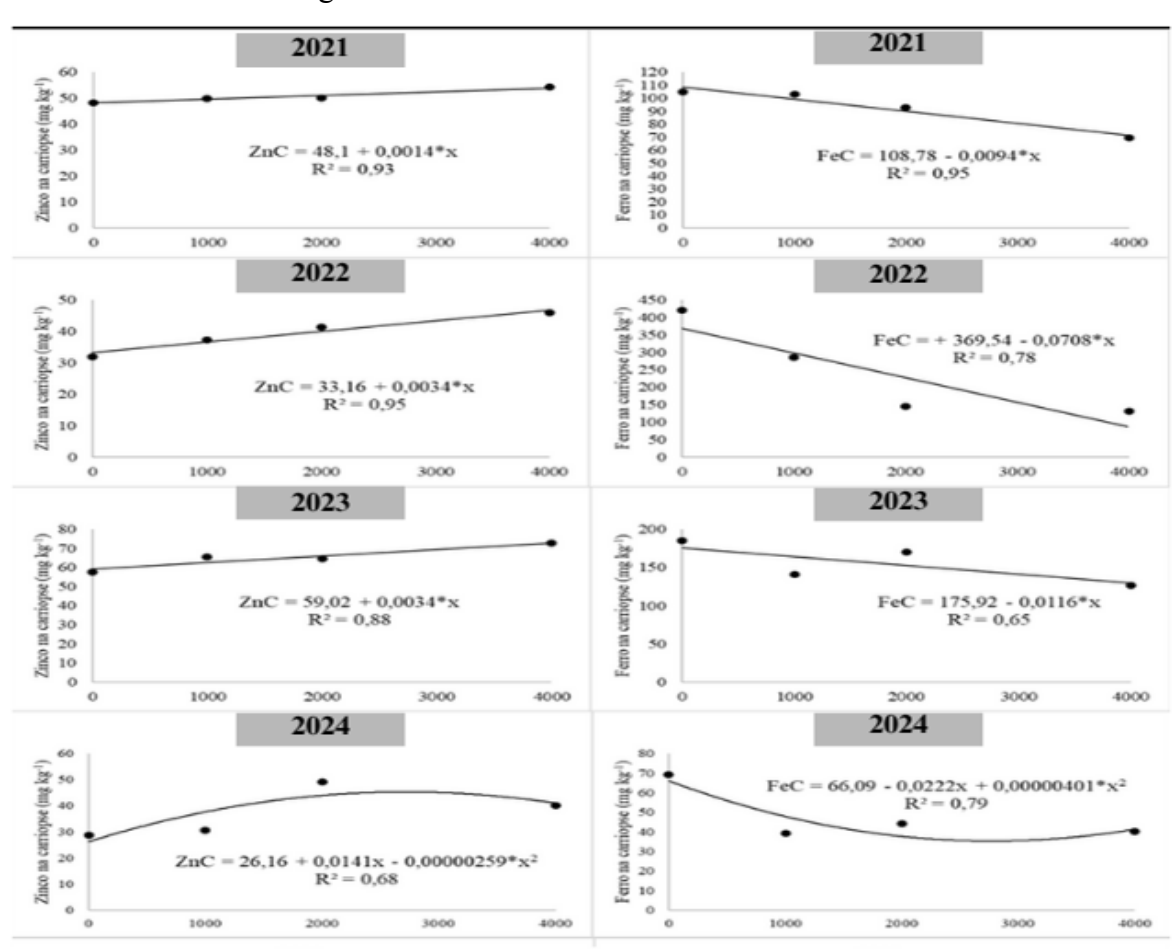
XXXIII Seminário de Iniciação Científica XXX Jornada de Pesquisa XXVI Jornada de Extensão XV Seminário de Inovação e Tecnologia XI Mostra de Iniciação Científica Júnior III Seminário Acadêmico da Graduação UNIJUÍ



aplicação. Outro aspecto que mostra necessidade de compreensão é o efeito inverso observado sobre a concentração de ferro em grãos e cariopses de aveia pelo aumento das doses de sulfato de zinco, condição apresentada em todos os cenários (Tabela 1, Figura 1).

Na Figura 1, a grande maioria das funções evidenciam comportamento linear, sugerindo a aplicação em dose máxima para enriquecimento de zinco na cariopse. Por outro lado, no ano de maior déficit hídrico no final de ciclo, como o ano 04, mostra-se comportamento quadrático, oportunizando estimativa da dose ótima de sulfato de zinco ao redor de 2440 g ha⁻¹. Estas doses incrementam em 57% de enriquecimento de zinco com redução de 49% de ferro na cariopse de aveia. Essa competição induz a necessidade de planejar doses de zinco que minimizem efeitos sobre o ferro.

Figura 1. Regressão da concentração de zinco e ferro em cariopses de aveia pelas doses de sulfato de zinco nos anos agrícolas.



ZnG – Zinco no grão; ZnC – Zinco na cariopse; FeG – Ferro no grão; FeC – Ferro na cariopse; R² – Coeficiente de determinação; * – Significância do parâmetro angular da equação de regressão em 5% de probabilidade de erro.



XXXIII Seminário de Iniciação Científica
XXX Jornada de Pesquisa
XXVI Jornada de Extensão
XV Seminário de Inovação e Tecnologia
XI Mostra de Iniciação Científica Júnior
III Seminário Acadêmico da Graduação UNIJUÍ



CONSIDERAÇÕES FINAIS

As doses aplicadas de sulfato de zinco durante a fase de enchimento dos grãos da aveia ao longo dos anos mostram enriquecimento de zinco em grãos e cariopses de aveia. O estudo também comprova que a eficiência da biofortificação agronômica em aveia é influenciada por condições meteorológicas no momento da aplicação. Também, foi confirmado efeito inverso das doses de sulfato de zinco com a redução da concentração de ferro em grãos e cariopses de aveia, indicando uma ação competitiva na absorção e translocação entre esses dois nutrientes. Contudo, biofortificação agronômica de zinco na aveia se revela uma estratégia eficaz para enriquecer nutricionalmente os grãos, melhorando a qualidade dos alimentos e ajudando a prevenir deficiências nutricionais, especialmente em populações menos favorecidas

Palavras-chave: Avena sativa L. Segurança Alimentar. Nutrição. Agenda 2030.

REFERÊNCIAS BIBLIOGRÁFICAS

CRUZ, C.D. GENES - a software package for analysis in experimental statistics and quantitative genetics. **Acta Scientiarum**. v.35, n.3, p.271-276, 2013.

DUAN, M; LI, T. et al. Zinc nutrition and dietary zinc supplements. **Critical Reviews in Food Science and Nutrition**, v.63, n.9, p.1277-1292, 2023.

GUPTA, N.; RAM, H.; KUMAR, B. Mechanism of Zinc absorption in plants: uptake, transport, translocation and accumulation. **Reviews in Environmental Science and Bio/Technology**, v.15, n.1, p.89-109, 2016.

ZOU, C.; DU, Y.; RASHID, A.; RAM, H.; SAVASLI, E.; PIETERSE, P. J.; ORTIZMONASTERIO, I.; YAZICI, A.; KAUR, C.; MAHMOOD, K.; SINGH, S.; LE ROUX, M. R.; KUANG, W.; ONDER, W.; KAKAYCI, M.; CAKMAK, I. Simultaneous biofortification of wheat with zinc, iodine, selenium, and iron through foliar treatment of a micronutrient cocktail in six countries. **Journal of agricultural and food chemistry**, v.67, n.29, p.8096-8106, 2019.

ZHANG, L. et al. Association between serum copper/zinc ratio and lung cancer: A systematic review with meta-analysis. **Journal of Trace Elements in Medicine and Biology**, v.74, P.127061, 2022.